

토크리플 저감을 고려한 단상 SRM 고역률 구동

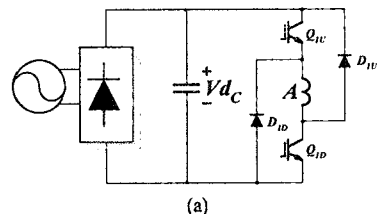
김봉철, 박성준*, 안진우
경성대, 동명대*

Torque Ripple Reduction Driver of Single Pulse High Power Factor

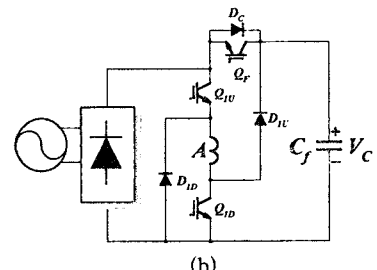
Bong-Chul Kim, Sung-Jun Park*, Jin-Woo Ahn
Kyungsung Univ, Dongmyung College*

Abstract - A novel single-stage power factor corrected (PFC) drive for switched reluctance motor (SRM) is presented to achieve sinusoidal, near unity power factor input current. The proposed PFC SRM drive has no additional active switch. And a single-stage approach, which combines a DC link capacitor used as dc source and a drive used for driving the motor into one power stage, has a simple structure and low cost. The characteristics and validity of the proposed circuit will be discussed in depth through the experimental results.

류기 출력단에 멀크성 콘덴서를 내장하고 있으며 이는 전압의 리플을 방지하고 회수 에너지를 저장하는 역할을 한다. 이것으로 인하여 입력 전원측에는 멀스성의 전류가 흐르게 된다.



(a)



(b)

그림 1 비대칭 인버터와 단위역률 인버터
(a) 비대칭 인버터 (b) 단위역률 인버터
Fig. 1 Asymmetric inverter & power factor inverter
(a)asymmetric inverter (b) power factor inverter

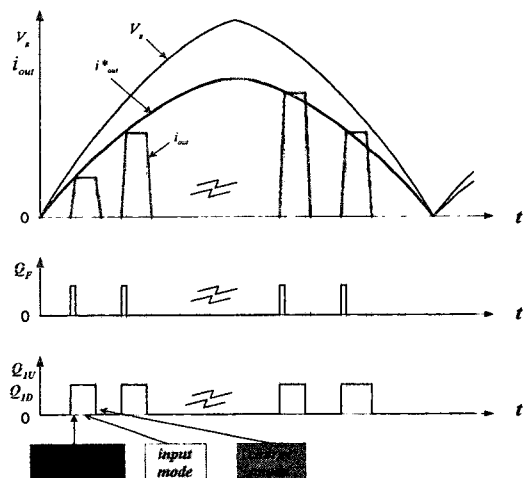


그림 2 단위역률 인버터의 입력 전압, 전류
Fig. 2 Input voltage and current of power factor inverter

2. 단상 SRM의 동작원리와 입력역률

2.1 단위역률용 단상 SRM 인버터

SRM구동에 있어서 입력측 전원의 역률을 단위역률로 하기 위해서는 기존의 구동드라이브에 단위역률을 위한 컨버터부와 제어회로가 부가되어야 한다. 이것은 2단방식의 구동회로로서 직류전원으로부터 독립된 컨버터부의 추가로 인해 경제적인 단점을 가지고 있다. 따라서 이것의 개선을 위해 새로운 형태의 구동장치로서 최근 부가적인 능동회로가 없이 SRM 구동회로를 1단 방식으로 구성하는 형태에 대한 요구가 증대되고 있다. 그림 1는 기존의 비대칭 SRM 드라이브와 이전에 제안된 1단방식의 단위역률 인버터와 새로이 제안된 토크리플을 고려한 단위역률 인버터를 나타내고 있다.

그림 1(a)와 같이 기존의 비대칭 인버터는 다이오드 정

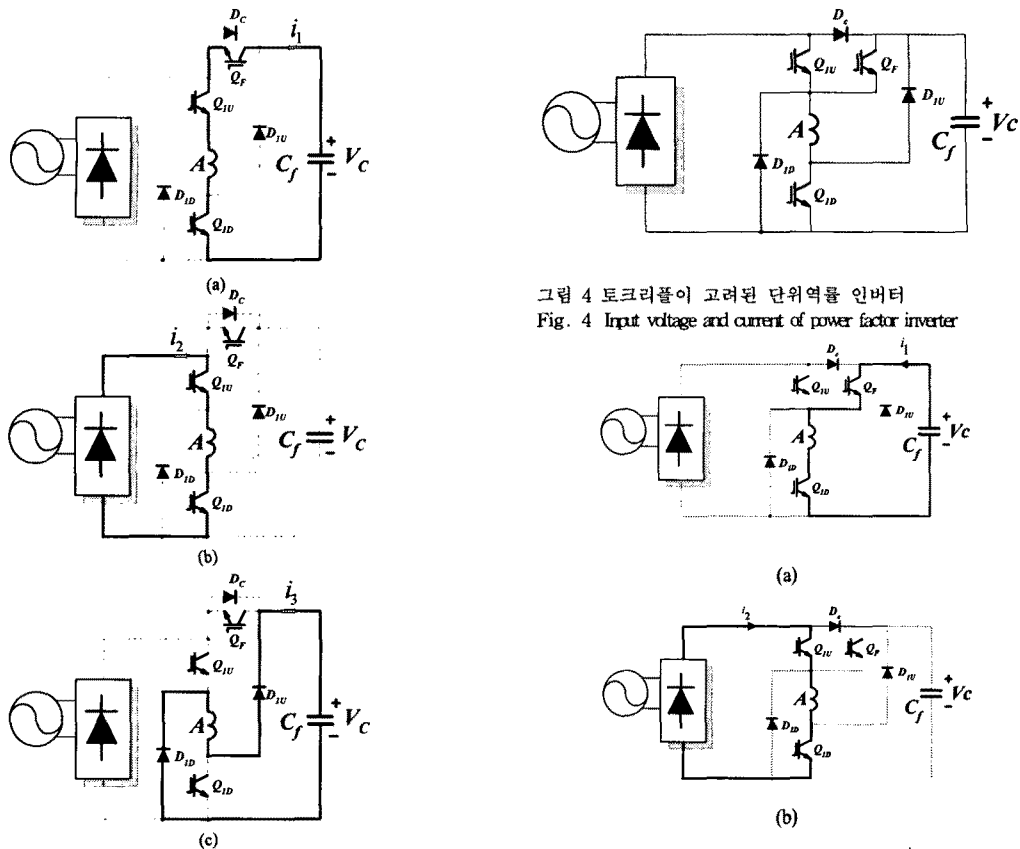


그림 3 단위역률 인버터의 각 모드

(a)방전모드 (b) 입력모드 (c) 회수모드

Fig. 3 Inverter mode for unity power factor inverter
 (a) discharge mode (b) input mode
 (c) charge mode

그림 1(b)의 1단방식의 단위역률 인버터는 다이오드 정류기 출력측에 콘덴서가 없다는 특징을 가지고 있다. 따라서, 입력측 전원의 전 영역에 대하여 전류의 형성이 가능한 구조가 된다. 또한 콘덴서(C_f)는 입력측과 독립적으로 작동하여 상스위치 오프시에 발생하는 회수에너지를 저장한다.

그림 2(b)에 제안된 인버터의 동작은 그림 3과 같이 3개의 모드로 구별하는 것이 편리하다.

그림 3(a)의 방전모드는 상 스위치 온 및 방전 스위치(Q_F)를 온함과 동시에 시작되며, 상 스위치 오프시 회수된 높은 전압으로 신속한 평활전류 정착용으로 사용된다. 이때 상전류는 C_f , Q_F , Q_{IU} , Q_{ID} 를 통하여 형성된다.

그림 3(b)의 입력모드는 방전 스위치를 오프 한 시점부터 시작되며, 이 모드는 전원측에서 전동기로의 전력 전달이 이루어지는 시점이다. 이때 상전류는 정류용 다이오드, Q_{IU} , Q_{ID} 를 통하여 형성된다.

그림 3(c)의 회수모드는 상 스위치가 오프되는 순간부터 시작되며 휠링다이오드 D_{ID} , D_{IU} 를 통하여 상권선에 존재하는 무효전력을 회수하게 된다.

2.2 토크리플이 고려된 단위역률을 용 단상 SRM 인버터

전류불연속 모드로 단위역률을 구현함과 동시에 기준의 단위역률을 컨버터 구동용 SRM드라이브의 단점인 토크리플의 저감을 위해 제안된 1단 방식의 구동회로는 그림

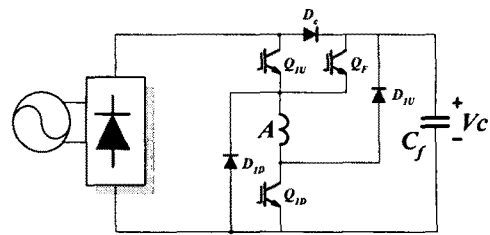
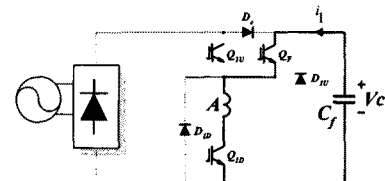
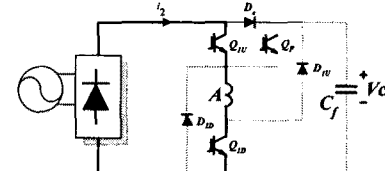


그림 4 토크리플이 고려된 단위역률 인버터

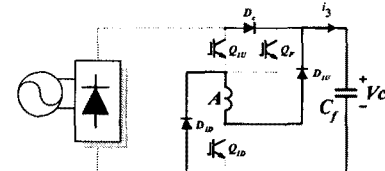
Fig. 4 Input voltage and current of power factor inverter



(a)



(b)



(c)

그림 5 제안된 인버터의 각 모드

(a)방전모드 (b) 입력모드 (c) 회수모드

Fig. 5 Modes of proposed inverter
 (a) discharge mode (b) input mode
 (c) charge mode

4에 나타내었다.

제안된 회로는 다이오드 정류기 출력측에 콘덴서를 제거한 형태를 취함으로 위역률을 구현하기 위해서 필수적인 조건을 만족하는 회로가 된다. 또한 입력측 전원의 전 영역에 대하여 동일한 형태의 SRM 상전류의 형성이 가능한 구조가 된다. 이를 위해서 콘덴서(C_f)는 상전류가 평활하게 하기 위해, 즉 토크리플을 없애기 위해 입력전원의 모자란 부분을 보충하는 역할을 하고 여유가 있을시 전류 정착용으로 사용된다.

그림 4의 제안된 인버터 동작은 그림 5과 같이 3개의 모드로 구별할 수 있다. 그림 5(a)의 방전모드는 상 스위치 Q_{ID} 의 ON 및 방전 스위치 Q_F 를 ON 함과 동시에 시작되며, 상 스위치 오프시 회수된 높은 전압으로 입력전류의 부족한 부분을 보충하는 부분이다. 이때 C_f 의 전원이 전동기로의 전력전달이 이루어지고, 상전류는 C_F , Q_F , Q_{ID} 를 통하여 형성된다. 그림 5(b)의 입력모드는 방전 스위치를 오프 한 시점부터 시작되며, 이 모드는 전원측에서 전동기로의 전력전달이 이루어지는 시

점이다. 이때 상전류는 정류용 다이오드, Q_{IU} , Q_{ID} 를 통하여 형성된다. 그림 5(c)의 회수모드는 상 스위치가 오프되는 순간부터 시작되며 휠링다이오드 D_{ID} , D_{IU} 를 통하여 상권선에 존재하는 무효전력을 회수하게 된다.

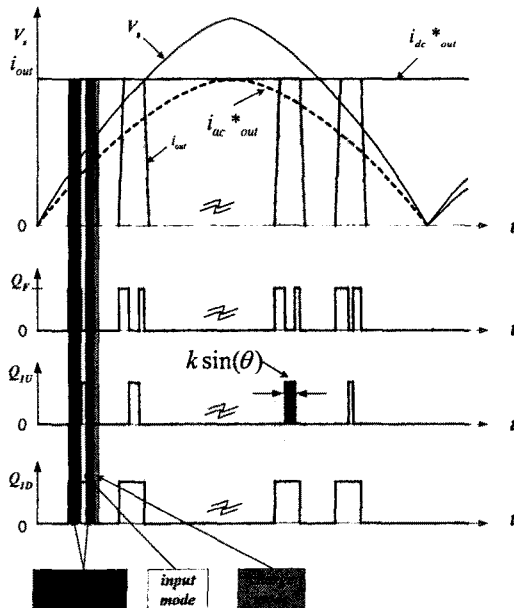


그림 6 제안된 인버터의 스위칭도
Fig. 6 Switching of proposed inverter

그림 6는 단위역률을 구현함과 동시에 토크리플의 저감을 위해 제안된 1단 방식의 구동회로의 스위칭 타이밍을 나타내고 있다. 상 전류지령치는 평활토크 발생을 위한 지령치와 단위역률을 위한 지령치의 두 개로 분리되어며, 평활토크 발생용 지령치는 그림 6에서 보는 바와 같이 정상상태에서는 일정한 값이 되며, 단위역률 지령치 전류는 평활토크 전류지령치 값은 피크로 한 정현적이 과정의 절대치가 된다. 이 단위역률 지령치 전류는 입력 전압의 절대치회로에 의해 일어진다.

Q_{ID} 스위치는 SRM에 장착된 엔코더 정보로써 설정된 값에 의해 결전되고, Q_{IU} 스위치의 펄스폭은 SRM 상스위치전류 평활각의 중심부에서 대칭이 되도록 인가되고, 그 펄스 폭은 아래 식과 같다.

$$W = K \sin(\theta) \quad (1)$$

Q_F 스위치는 Q_{ID} 스위치가 온 되고 Q_{IU} 스위치가 오프되는 영역에서 온된다.

제안된 단위역률 및 토크리플의 저감형 1단 방식에서 전원 전압의 피크지 부분에서는 전원전압에서 SRM의 상전류 부담이 주가되고, 전원전압의 Zero부분에서 충전모드에서 충전한 콘덴서(C_p)에서 SRM의 상전류 부담이 주가되어 전원전압의 위상에 관계없이 동일한 토크 발생이 가능하다.

3. 결 론

본 논문에서는 이전에 단상 SRM구동 회로를 부가적인 능동회로 없이 1단 방식으로 구성하여 기존의 2단 방식의 역률보상회로와 비교하여 보다 간단하면서도 단위 역률보상이 가능한 단상 SRM구동 회로를 제안하였다. 그러나 토크리플이 심하여 적용범위가 적은 단점이

있어, 이를 보완하여 토크 리플을 고려한 구동회로를 제안하였다. 나아가 실험을 통해 제안된 단상SRM 드라이버의 효율성을 검증하고 동시에 경제적으로 저가화를 구현할 것이다. 이후 제안된 단상SRM용 구동 드라이버는 단상 SRM의 적용 범위를 확장시킬 것으로 기대된다.

(참 고 문 헌)

- (1) Euxibie E and Thenaisie P : "A switched reluctance drive for pallet truck applications". Intelligent Motion, Proceedings, pp.88-100, June 1990.
- (2) Lawrenson PJ et al : "Variable-speed switched reluctance motors", Proceedings IEE Vol.127, Pt.B, pp.253-265.
- (3) D. W. J. Puller "New data base for switched reluctance drive simulation." Proc. IEE, Vol.138, Pt-B, No.6, pp.331-336, 1991.
- (4) P. H. Chappell, W. F. Ray and R. J. Blake, "Microprocessor Control of a Variable Reluctance Motor", Proc. IEE, Vol.131, No.2, Part.B, pp.51-60, 1984.
- (5) 안진우, 박성준, 손익진, 오석규, 황영문 "단상 SRM의 역률개선을 위한 구동방식", 전력전자학술대회, pp.235-238, 2001.